

Zodiac 算法新的 Square 攻击

张鹏^① 李瑞林^① 李超^{①②}

^①(国防科技大学理学院数学与系统科学系 长沙 410073)

^②(中国科学院软件所信息安全国家重点实验室 北京 100190)

摘要: 该文重新评估了 Zodiac 算法抗 Square 攻击的能力。Zodiac 算法存在 8 轮 Square 区分器, 该文首先根据算法的结构特性, 给出了 Zodiac 的 4 个等价结构, 而后利用等价结构得到了两个新的 9 轮 Square 区分器。利用新的区分器, 对不同轮数的 Zodiac 算法实施了 Square 攻击, 对 12 轮, 13 轮, 14 轮, 15 轮和 16 轮 Zodiac 的攻击复杂度分别为 $2^{37.3}$, $2^{62.9}$, $2^{96.1}$, $2^{137.1}$ 和 $2^{189.5}$ 次加密运算, 选择明文数分别为 $2^{10.3}$, 2^{11} , $2^{11.6}$, $2^{12.1}$ 和 $2^{12.6}$ 。结果表明: 完整 16 轮 192 bit 密钥的 Zodiac 算法是不抗 Square 攻击的。

关键词: 密码学; Zodiac; 等价结构; 区分器; Square 攻击

中图分类号: TN918

文献标识码: A

文章编号: 1009-5896(2010)11-2790-05

DOI: 10.3724/SP.J.1146.2010.00388

New Square Attack on Zodiac

Zhang Peng^① Li Rui-lin^① Li Chao^{①②}

^①(Department of Mathematics and System Science, Science College, National University of Defense Technology, Changsha 410073, China)

^②(State Key Laboratory of Information Security, Institute of Software, Chinese Academy of Sciences, Beijing 100190, China)

Abstract: This paper re-evaluates the security of Zodiac against Square attacks. There are 8-round Square distinguishers of Zodiac. In this paper, four equivalent structures of Zodiac are given, based on which two new 9-round distinguishers are proposed. Then by using the 9-round Square distinguishers, Square attacks are applied to 12/13/14/15/16-round Zodiac with time complexities being $2^{37.3}$, $2^{62.9}$, $2^{96.1}$, $2^{137.1}$, $2^{189.5}$, and data complexities being $2^{10.3}$, 2^{11} , $2^{11.6}$, $2^{12.1}$, $2^{12.6}$, respectively. Additionally, these attacks show that full 16-round Zodiac-192 is not immune to Square attack.

Key words: Cryptography; Zodiac; Equivalent structures; Distinguisher; Square attack

1 引言

Square 攻击是继差分密码分析和线性密码分析后, 密码学界公认的一种比较有效的密码分析方法^[1], 它是 Daemen 等人^[1]在 FSE 1997 针对 Square 密码提出的一种新的攻击方法, 作为主要分析针对面向字节运算算法安全性的密码分析方法, Square 攻击从其出现就受到了密码学界的广泛关注。近几年, 利用该攻击思想, 学术界对 Camellia, CLEFIA, HIGHT 和 3D 等分组密码算法的安全性进行了评估, 取得了较好的分析结果^[2-5]。

Zodiac 密码是由韩国学者 Lee 等人^[6]提出的一个 Feistel 型迭代分组密码算法, 其分组长度为 128 bit, 算法支持 128 bit, 192 bit, 和 256 bit 密钥长

度(以下简称 Zodiac-128, Zodiac-192 和 Zodiac-256)。与 DES 算法类似, 算法对输入明文和输出密文采用了相应的初始置换和输出变换, Zodiac 算法迭代轮数为 16, 每一轮变换均由密钥加变换、线性 P 变换以及非线性 S 盒变换组成。算法提出后, 密码学界对 Zodiac 抗已知攻击的能力做了评估, 主要是抗不可能差分攻击和抗 Square 攻击的能力^[7,8], 其中, Ji 等人^[8]指出: Zodiac 算法存在 8 轮 Square 区分器, 利用该区分器可以对 13 轮 Zodiac-128, 15 轮 Zodiac-192 以及完整 16 轮的 Zodiac-256 算法实施 Square 攻击。

本文进一步研究了 Zodiac 算法抗 Square 攻击的能力。文章首先给出了 Zodiac 的 4 个等价结构, 进而利用等价结构得到了两个新的 9 轮 Square 区分器, 利用得到的 9 轮区分器可以成功对 14 轮 Zodiac-128, 以及完整轮数的 Zodiac-192 和 Zodiac-256 实施 Square 攻击, 这说明 Zodiac-192 和 Zodiac-256 对 Square 攻击都是不免疫的。

2010-04-16 收到, 2010-07-09 改回

国家自然科学基金(60803156)和信息安全国家重点实验室开放基金(01-07)资助课题

通信作者: 张鹏 cheetahzhp@gmail.com

2 Zodiac 算法

2.1 算法符号说明如表 1 所示。

表 1 算法符号及其含义

符号	含义
$L = (l_0, l_1, l_2, l_3, l_4, l_5, l_6, l_7)$ $\in (\mathbb{F}_2^8)^8$	输入明文的左半部分
$R = (r_0, r_1, r_2, r_3, r_4, r_5, r_6, r_7)$ $\in (\mathbb{F}_2^8)^8$	输入明文的右半部分
$L_i = (l_{i,0}, l_{i,1}, l_{i,2}, l_{i,3}, l_{i,4}, l_{i,5}, l_{i,6}, l_{i,7})$ $\in (\mathbb{F}_2^8)^8$	第 i 轮输出的左半部分
$R_i = (r_{i,0}, r_{i,1}, r_{i,2}, r_{i,3}, r_{i,4}, r_{i,5}, r_{i,6}, r_{i,7})$ $\in (\mathbb{F}_2^8)^8$	第 i 轮输出的右半部分
$K_i = (k_{i,0}, k_{i,1}, k_{i,2}, k_{i,3}, k_{i,4}, k_{i,5},$ $k_{i,6}, k_{i,7}) \in (\mathbb{F}_2^8)^8$	第 i 轮的轮密钥
$K_i^* = (k_{i,0}^*, k_{i,1}^*, k_{i,2}^*, k_{i,3}^*, k_{i,4}^*, k_{i,5}^*,$ $k_{i,6}^*, k_{i,7}^*) \in (\mathbb{F}_2^8)^8$	第 i 轮的等价轮密钥 ($K_i^* = P(K_i)$)
$CL = (Cl_0, Cl_1, Cl_2, Cl_3, Cl_4, Cl_5,$ $Cl_6, Cl_7) \in (\mathbb{F}_2^8)^8$	输出密文的左半部分
$CR = (Cr_0, Cr_1, Cr_2, Cr_3, Cr_4, Cr_5,$ $Cr_6, Cr_7) \in (\mathbb{F}_2^8)^8$	输出密文的右半部分
$K_0(K_{17})$	初始(输出)白化密钥

2.2 算法描述

由于初始置换不影响本文的分析, 因此本文不考虑初始置换的影响。设 Zodiac 算法的明文输入为 $P = (L, R) \in (\mathbb{F}_2^{64})^2$, 则有 $L_0 = L \oplus K_0$, $R_0 = R$, 且 Zodiac 算法第 1 到 16 轮的变换表示如下:

$$\begin{cases} L_i = F(L_{i-1} \oplus K_i) \oplus R_{i-1}, \\ R_i = L_{i-1}, \end{cases} \quad (1 \leq i \leq 16)$$

$C = (CL, CR) = (R_{16} \oplus K_{17}, L_{16})$ 即为对应的密文。

算法的轮函数定义为 $F(X) = S(P(X))$, 其中 P 将 $X = (x_0, x_1, x_2, x_3, x_4, x_5, x_6, x_7)$ 变换为 $Z = (z_0, z_1, z_2, z_3, z_4, z_5, z_6, z_7)$:

$$\begin{aligned} z_0 &= x_2 \oplus x_3 \oplus x_4, & z_1 &= x_0 \oplus x_1, & z_2 &= x_1 \oplus x_2, \\ z_3 &= x_2 \oplus x_3, & z_4 &= x_6 \oplus x_7 \oplus x_0, & z_5 &= x_4 \oplus x_5, \\ z_6 &= x_5 \oplus x_6, & z_7 &= x_6 \oplus x_7 \end{aligned}$$

S 将 $Z = (z_0, z_1, z_2, z_3, z_4, z_5, z_6, z_7)$ 变换为 $Y = (y_0, y_1, y_2, y_3, y_4, y_5, y_6, y_7)$:

$$\begin{aligned} y_0 &= S_1(z_0), & y_1 &= S_2(z_1), & y_2 &= S_1(z_2), & y_3 &= S_2(z_3), \\ y_4 &= S_1(z_4), & y_5 &= S_2(z_5), & y_6 &= S_1(z_6), & y_7 &= S_2(z_7) \end{aligned}$$

其中 S_1 与 S_2 均是 $\mathbb{F}_2^8 \rightarrow \mathbb{F}_2^8$ 的非线性变换(S 盒)。

由于本文不考虑轮密钥之间的影响, 这里不再介绍密钥扩展算法。

3 Zodiac 算法的等价结构

3.1 等价结构 1($P \rightarrow K \rightarrow S$)

Zodiac 算法轮函数的具体结构为 $K \rightarrow P \rightarrow S$, 设轮函数的输入为 X , 则其输出可表示为

$$S(P(X \oplus K)) = S(P(X) \oplus P(K)) = S(P(X) \oplus K^*)$$

其中 $K^* = P(K)$, 于是利用等价密钥原结构可以等价于 $P \rightarrow K^* \rightarrow S$ 。为了叙述的方便, 不妨将等价结构 1 记为 $P \rightarrow K \rightarrow S(K$ 为等价密钥), 具体流程见图 1(a)。

3.2 等价结构 2, 3, 4

在 SAC 2005 上, Duo 等人^[2]首次提出了 Camellia 算法的等价结构, 并且应用等价结构改进了 Camellia 算法的 Square 攻击。下面我们将针对 Zodiac 算法的具体结构特点, 给出 Zodiac 算法的几个等价结构, 等价结构的具体流程见图 1(b), 1(c), 1(d)。

定理 1 Zodiac 算法的等价结构 1 与结构 2, 3, 4 均等价。

证明 这里只给出结构 1 与结构 3 等价的证明。

设 L_{i-1} , R_{i-1} 分别表示结构 1 中第 i 轮输入的左右两部分, L_{i-1}^* , R_{i-1}^* 分别表示结构 3 中第 i 轮输入的左右两部分, K_i 表示第 i 轮的密钥。

在结构 1 与结构 3 的第 i 轮中取相同的输入, 即令 $L_{i-1} = L_{i-1}^*$, $R_{i-1} = R_{i-1}^*$, 则在结构 1 中, 有

$$\begin{aligned} L_i &= R_{i-1} \oplus S(P(L_{i-1}) \oplus K_{i-1}), & R_i &= L_{i-1} \\ L_{i+1} &= R_i \oplus S(P(L_i) \oplus K_i) \\ &= L_{i-1} \oplus S(P(L_i) \oplus K_i) & R_{i+1} &= L_i \end{aligned}$$

在结构 3 中, 有

$$\begin{aligned} L_i^* &= P(R_{i-1}^*) \oplus P(S(P(L_{i-1}^*) \oplus K_{i-1})) \\ &= P(R_{i-1} \oplus S(P(L_{i-1}) \oplus K_{i-1})) = P(L_i) \end{aligned}$$

$$R_i^* = L_{i-1}^* = L_{i-1} = R_i$$

$$L_{i+1}^* = R_i^* \oplus S(L_i^* \oplus K_i) = R_i \oplus S(P(L_i) \oplus K_i) = L_{i+1}$$

$$R_{i+1}^* = P^{-1}(L_i^*) = L_i = R_{i+1}$$

因此, 对任意相同的输入结构 1 与结构 3 均能得到相同的加密结果, 即结构 1 与结构 3 等价, 同理可证结构 1 与结构 2, 4 等价。证毕

4 Zodiac 算法基于等价结构的 Square 攻击

4.1 Zodiac 算法新的 9 轮 Square 区分器

在文献[8]中, 作者给出了 Zodiac 算法的如下两个 8 轮 Square 区分器。

$$\begin{aligned} \text{(a)} \quad & (C, C, C, C, C, C, C, C \parallel C, A, C, C, C, C, C, C) \\ & \xrightarrow{\text{8 round}} (? , ? , ? , ? , ? , ? , ? , ? \parallel ? , ? , ? , ? , ? , ? , ? , A) \end{aligned}$$

(b) $(C, C, C, C, C, C, C, C \| C, C, C, C, C, A, C, C)$

$\xrightarrow{8 \text{ round}} (? , ? , ? , A , ? , ? , ? , ? \| ? , ? , ? , ? , ? , ? , ? , ?)$

如果采用 Zodiac 算法的等价结构 3, 并选取合适的输入明文组, 则根据每轮输出的具体情况, 可以得到两个新的 9 轮 Square 区分器。

定理 2 Zodiac 算法存在如下两个 9 轮 Square 区分器(区分器(a*)的具体形式见表 2)。

(a*) $(C, C, C, C, C, C, C, C \| C, A, A \oplus C, A \oplus C, C, C,$

$C, C) \xrightarrow{9 \text{ round}} (? , ? , ? , ? , ? , ? , ? , ? \| ? , ? , ? , ? , ? , ? , ? , A)$

(b*) $(C, C, C, C, C, C, C, C \| C, C, C, C, C, A, A \oplus C,$

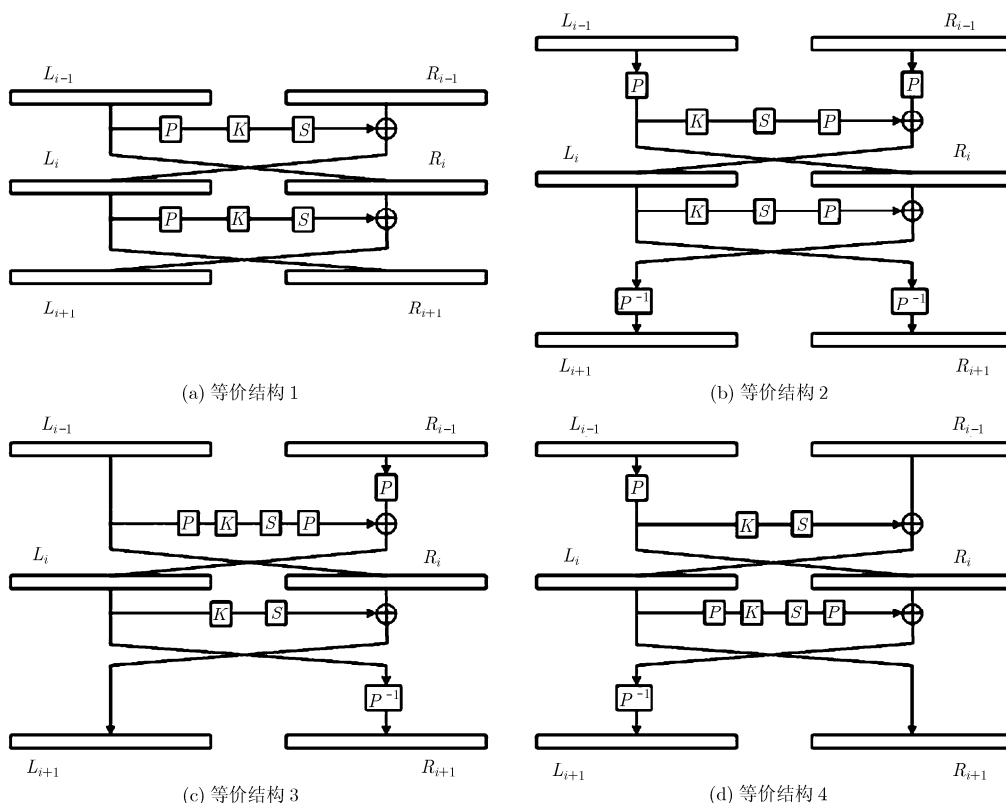


图 1 Zodiac 算法的 4 个等价结构(图中 K 均为等价密钥)

表 2 Zodiac 算法的 9 轮 Square 区分器(a*)

$(L R)$	(C, C, C, C, C, C, C, C)	轮函数	$(C, A, A \oplus C, A \oplus C, C, C, C, C)$
			P
$(L_0 R_0)$	(C, C, C, C, C, C, C, C)	$P \rightarrow K_1^* \rightarrow S \rightarrow P$	(C, A, C, C, C, C, C, C)
$(L_1 R_1)$	(C, A, C, C, C, C, C, C)	$K_2^* \rightarrow S$	(C, C, C, C, C, C, C, C)
$(L_2 R_2)$	(C, A, C, C, C, C, C, C)	$P \rightarrow K_3^* \rightarrow S \rightarrow P$	(C, A, C, C, C, C, C, C)
$(L_3 R_3)$	(A, B, B, A, C, C, C, C)	$K_4^* \rightarrow S$	(C, A, C, C, C, C, C, C)
$(L_4 R_4)$	$(A, ?, ?, A, C, C, C, C)$	$P \rightarrow K_5^* \rightarrow S \rightarrow P$	(A, B, B, A, C, C, C, C)
$(L_5 R_5)$	$(?, ?, ?, ?, A, C, C)$	$K_6^* \rightarrow S$	$(A, ?, ?, A, C, C, C, C)$
$(L_6 R_6)$	$(?, ?, ?, ?, A, C, C)$	$P \rightarrow K_7^* \rightarrow S \rightarrow P$	$(?, ?, ?, ?, A, C, C)$
$(L_7 R_7)$	$(?, ?, ?, ?, ?, ?, A)$	$K_8^* \rightarrow S$	$(?, ?, ?, ?, A, C, C)$
$(L_8 R_8)$	$(?, ?, ?, ?, ?, ?, A)$	$P \rightarrow K_9^* \rightarrow S \rightarrow P$	$(?, ?, ?, ?, ?, ?, A)$
$(L_9 R_9)$	$(?, ?, ?, ?, ?, ?, ?)$	$K_{10}^* \rightarrow S$	$(?, ?, ?, ?, ?, ?, A)$
			P^{-1}
$(L_{10} R_{10})$	$(?, ?, ?, ?, ?, ?, ?)$		$(?, ?, ?, ?, ?, ?, ?)$

注: A 表示活跃字节; C 表示稳定字节, 即为常数; B 表示平衡字节; ? 表示字节的性质无法预测。区分器输入中的 3 个活跃字节表示同时取相同的值进行遍历。

$$A \oplus C \xrightarrow{9 \text{ round}} (? , ? , ? , A , ? , ? , ? \| ? , ? , ? , ? , ? , ? , ?)$$

此外, 我们还在个人计算机上对上述两个 9 轮 Square 区分器进行了编程实现, 结果进一步验证了上述区分器的正确性。

4.2 对不同轮数 Zodiac 算法的 Square 攻击

利用基于等价结构的 9 轮 Square 区分器, 可以对不同轮数的 Zodiac 算法实施 Square 攻击。图 2 给出了 Zodiac 算法基于区分器(a*)的不同轮数 Square 攻击的具体过程, 其中 x 遍历 \mathbb{F}_2^8 , c_i , d_i , e_i 和 f_i 均为常数。在下文的攻击过程中, 不考虑白化密钥的影响, 且恢复的都是等价密钥 $K^*(K^* = P(K))$ 。

由于本文的攻击是基于等价结构做的, 而且需要在开始添加一轮, 因此在攻击不同轮数时, 需要配合使用等价结构 3 和 4, 如在对 12, 14 和 16 轮的算法实施 Square 攻击时, 本文的加密过程采用了等价结构 4, 而中间的 9 轮区分器采用的是等价结构 3; 在对 11, 13 和 15 轮的算法实施攻击时, 从第 2 轮开始可以看做是等价结构 3, 即在加密过程中需要对 P 和 P^{-1} 的位置进行适当调整。

下面, 我们以基于区分器(a*)的 12 轮 Square 攻击为例, 详细介绍 Square 攻击的具体步骤以及相应的复杂度计算方法:

步骤 1 猜测第 1 轮密钥中的 $k_{1,1}^*$ 。

步骤 2 选取满足如下条件的明文组进行 12 轮加密:

$$L = (c_0, x \oplus c_1, x \oplus c_2, x \oplus c_3, c_4, c_5, c_6, c_7);$$

$$R = (d_0, S_2((x \oplus c_0 \oplus c_1) \oplus k_{1,1}^*) \oplus d_1, d_2, d_3, d_4, d_5, d_6, d_7)$$

其中 x 遍历 \mathbb{F}_2^8 , c_i 和 d_i 均为常数, 相应的密文记为 $L_{12} \| R_{12}$ 。若 $k_{1,1}^*$ 的猜测值正确, 则第 2 轮的输入即满足 9 轮 Square 区分器(a*)的输入形式, 从而第 10 轮的输出 $r_{10,7}$ 为平衡字节。

步骤 3 猜测密钥 $k_{11,7}^*$, $k_{12,6}^*$ 和 $k_{12,7}^*$, 利用步骤 1 中得到的密文组 $L_{12} \| R_{12}$ 和这些猜测的密钥, 求得第 10 轮的输出字节 $r_{10,7}$ 为

$$\begin{aligned} r_{10,7} &= S_2(h_{10,7} \oplus k_{11,7}^*) \oplus h_{11,7} \\ &= S_2(r_{11,7} \oplus k_{11,7}^*) \oplus (r_{12,6} \oplus r_{12,7}) \\ &= S_2(S_2(r_{12,5} \oplus r_{12,7} \oplus k_{12,7}^*) \oplus S_1(r_{12,4} \oplus r_{12,6} \\ &\quad \oplus k_{12,6}^*) \oplus h_{12,7} \oplus k_{11,7}^*) \oplus (r_{12,6} \oplus r_{12,7}) \end{aligned}$$

验证 $r_{10,7}$ 的平衡性, 若满足平衡性, 则猜测的 $k_{1,1}^*$, $k_{11,7}^*$, $k_{12,6}^*$ 和 $k_{12,7}^*$ 分别为正确密钥的候选值, 否则为错误密钥, 舍弃。

步骤 4 重复以上 3 个步骤, 直到正确密钥唯一确定。

对 12 轮 Zodiac 算法的 Square 攻击共需猜测 4 个字节的密钥, 即 $k_{1,1}^*$, $k_{11,7}^*$, $k_{12,6}^*$ 和 $k_{12,7}^*$ 。对于错

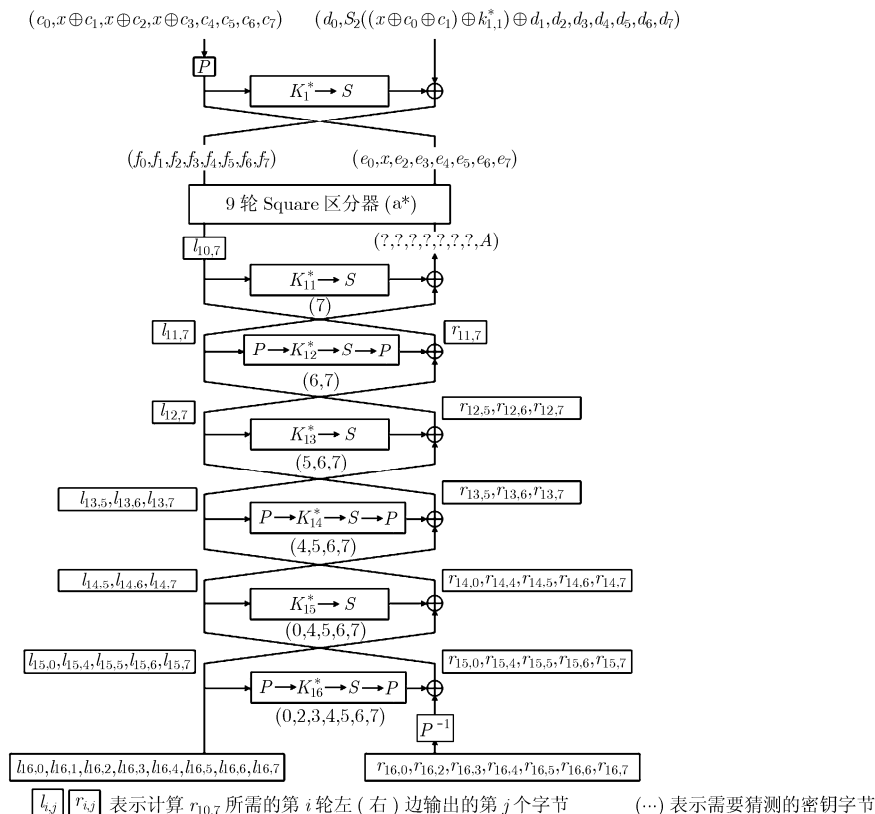


图 2 对不同轮数 Zodiac 算法的 Square 攻击

误的密钥值, 满足 $r_{10,7}$ 平衡性的概率为 2^{-8} , 因此经过一个明文结构淘汰后, 剩下的错误密钥的数目为 $(2^{32} - 1) \times 2^{-8} \approx 2^{24}$ 。假设选择了 N 个明文结构, 则剩余的错误密钥个数为 $(2^{32} - 1) \times 2^{-8N}$, 因此 5 个正确的明文结构即可淘汰所有的错误密钥 ($(2^{32} - 1) \times 2^{-8N} < 1$), 从而选择明文数为 $5 \times 2^8 \approx 2^{10.3}$ 。对每个猜测值, 计算 $r_{10,7}$ 需要 3 次查表运算, 因此攻击共需进行 $2^{32} \times 2^{10.3} \times 3$ 次查表运算, 又因为 12 轮 Zodiac 算法共有 $8 \times 12 = 96$ 次查表运算, 因此对 12 轮 Zodiac 算法 Square 攻击的时间复杂度为 $2^{32} \times 2^{10.3} \times 3 / 96 \approx 2^{37.3}$ 次加密运算。

在 12 轮 Square 攻击的基础上, 如果在末尾依次增加几轮, 可以得到 Zodiac 算法 13-16 轮的 Square 攻击, 下面仅给出各轮攻击需要猜测的密钥以及攻击的复杂度(见表 3)。由攻击复杂度一栏可知, 本文的 Square 攻击大大优于文献[8]中给出的攻

击, 结果还表明, 完整 16 轮 Zodiac-192 对 Square 攻击是不免疫的。

5 结束语

本文对 Zodiac 算法的安全性进行了进一步的评估, 通过对算法等价结构的研究, 首先找到了算法两个新的 9 轮 Square 区分器, 然后对不同轮数的 Zodiac 成功实施了 Square 攻击, 结果显示, 对 Zodiac-192 而言, 16 轮并不足以使得算法可以抵抗 Square 攻击。另外, 本文结果还说明: 对轮函数为 SP 结构的 Feistel 密码, 等价结构可以较好的改进算法的 Square 攻击, 因此, 在设计轮函数为 SP 结构的 Feistel 密码时, 必须充分考虑等价结构对算法抗 Square 攻击的影响。如何将基于等价结构的分析方法应用到其他 SP 型 Feistel 密码中将是下一步研究的主要内容。

表 3 Zodiac 算法不同轮数 Square 攻击需猜测的密钥和攻击复杂度

轮数	猜测的密钥	时间复杂度本文/文献[8]	数据复杂度本文/文献[8]
12	$k_{1,1}^*, k_{11,7}^*, k_{12,6}^*, k_{12,7}^*$	$2^{37.3} / 2^{92.3}$	$2^{10.3} / 2^{12.3}$
13	$k_{1,1}^*, k_{11,7}^*, k_{12,6}^*, k_{12,7}^*, k_{13,5}^*, k_{13,6}^*, k_{13,7}^*$	$2^{62.9} / 2^{124.8}$	$2^{11} / 2^{15.6}$
14	$k_{1,1}^*, k_{11,7}^*, k_{12,6}^*, k_{12,7}^*, k_{13,5}^*, k_{13,6}^*, k_{13,7}^*, k_{14,4}^*, k_{14,5}^*, k_{14,6}^*, k_{14,7}^*$	$2^{96.1} / 2^{157.2}$	$2^{11.6} / 2^{16}$
15	$k_{1,1}^*, k_{11,7}^*, k_{12,6}^*, k_{12,7}^*, k_{13,5}^*, k_{13,6}^*, k_{13,7}^*, k_{14,4}^*, k_{14,5}^*, k_{14,6}^*, k_{14,7}^*, k_{15,0}^*, k_{15,4}^*, k_{15,5}^*, k_{15,6}^*, k_{15,7}^*$	$2^{137.1} / 2^{189.5}$	$2^{12.1} / 2^{16.3}$
16	$k_{1,1}^*, k_{11,7}^*, k_{12,6}^*, k_{12,7}^*, k_{13,5}^*, k_{13,6}^*, k_{13,7}^*, k_{14,4}^*, k_{14,5}^*, k_{14,6}^*, k_{14,7}^*, k_{15,0}^*, k_{15,4}^*, k_{15,5}^*, k_{15,6}^*, k_{15,7}^*, k_{16,0}^*, k_{16,2}^*, k_{16,3}^*, k_{16,4}^*, k_{16,5}^*, k_{16,6}^*, k_{16,7}^*$	$2^{189.5} / 2^{221.7}$	$2^{12.6} / 2^{16.5}$

参考文献

- [1] Daemen J, Knudsen L R, and Rijmen V. The block cipher SQUARE[C]. FSE 1997, Springer-Verlag, 1997, LNCS, 1267: 149-165.
- [2] Duo L, Li C, and Feng K. New observation on Camellia[C]. SAC 2005, Springer-Verlag, 2006, LNCS, 3897: 51-64.
- [3] 唐学海, 李超, 谢端强. CLEFIA 密码的 Square 攻击[J]. 电子与信息学报, 2009, 31(9): 2260-2263.
Tang X H, Li C, and Xie D Q. Square attack on CLEFIA[J]. *Journal of Electronics & Information Technology*, 2009, 31(9): 2260-2263.
- [4] Zhang P, Sun B, and Li C. Saturation attack on the block cipher HIGHT[C]. CANS 2009, Springer-Verlag, 2009, LNCS, 5888: 76-86.
- [5] 王美一, 唐学海, 李超等. 3D 密码的 Square 攻击[J]. 电子与信息学报, 2010, 32(1): 157-161.
Wang M Y, Tang X H, and Li C, *et al.* Square attacks on 3D cipher[J]. *Journal of Electronics & Information Technology*, 2010, 32(1): 157-161.
- [6] Lee C, Jun K, and Jung M, *et al.* Zodiac version 1.0 (revised) architecture and specification. Standardization Workshop on Information Security Technology, Korean Contribution on MP18033, ISO/IEC JTC1/SC27 N2563, 2000. <http://www.kisa.or.kr/seed/index.html>.
- [7] Hong D, Sung J, and Moriai S, *et al.* Impossible differential cryptanalysis of Zodiac[C]. FSE 2001, Springer-Verlag, 2002, LNCS, 2355: 300-311.
- [8] Ji W and Hu L. Square attack on reduced-round Zodiac cipher[C]. ISPEC 2008, Springer-Verlag, 2008, LNCS, 4991: 377-391.

张 鹏: 男, 1983 年生, 博士生, 研究方向为编码密码理论及其应用.

李瑞林: 男, 1982 年生, 博士生, 研究方向为编码密码理论及其应用.

李 超: 男, 1966 年生, 博士生导师, 教授, 研究方向为编码密码理论及其应用.